

Zagadnienie geometrycznie nieliniowe - duże przemieszczenia

W przypadku dużych lub umiarkowanie dużych przemieszczeń równania równowagi należy formułować w przemieszczeniach konfiguracji, która jest aktualnie nieznana i którą trzeba wyznaczyć. Jest to podstawowa cecha nieliniowości geometrycznej.

Dużym przemieszczeniom mogą towarzyszyć małe lub duże odkształcenia. W pierwszym przypadku zależność między przemieszczeniem a odkształceniem jest nieliniowa, w drugim zależność ta również jest nieliniowa. Stan naprężenia określany jest na konfiguracji zdeformowanej. Rozróżnienie wielkości przemieszczeń i odkształceń jako dużych lub małych jest umowne i nie posiada ścisłego kryterium. W teorii liniowej korzysta się ze składowych całkowitego przemieszczenia i składowych całkowitego naprężenia i odkształcenia w punkcie obliczanych bezpośrednio od danego obciążenia. W zagadnieniach nieliniowych geometrycznie obciążenie rośnie aż do końcowej wartości i wyznacza przyrostowe zmiany naprężenia i odkształcenia [1].

1. Opis stanu odkształcenia

1.1. Współrzędne materialne i współrzędne przestrzenne

Do opisu stanu odkształcenia kontinuum materialnego wprowadza się dwa układy współrzędnych :

O $X_1 X_2 X_3$ – stały nieruchomy w czasie, kartezjański,

o $x_1 x_2 x_3$ - konwekcyjny, współobrotowy, odpowiadający uśrednionemu obrotowi ciała przy przejściu z jednej konfiguracji do drugiej, sztywno związany z bryłą, kartezjański.

Wprowadzanie dwóch różnych układów współrzędnych ma znaczenie tylko w teorii nieliniowej. Jeśli stan przemieszczenia, odkształcenia i naprężenia odnosi się do układu X_i , tzn. $u = u(X_i)$, $\varepsilon = \varepsilon(X_i)$, $\sigma = \sigma(X_i)$, to opisuje się zagadnienie wg. Lagrange'a we współrzędnych materialnych. Jeśli $u = u(x_i)$, $\varepsilon = \varepsilon(x_i)$, $\sigma = \sigma(x_i)$, wtedy opisuje się zagadnienie wg. Eulera we współrzędnych przestrzennych. Stan przemieszczenia, odkształcenia i naprężenia w danym punkcie jest obiektywny i nie zależy od wyboru układu współrzędnych. W teorii dużych przemieszczeń oba opisy mają zastosowanie [1].

Wprowadza się oznaczenia:

\mathbf{X} – wektor wodzący punktu materialnego $P(X_i)$ w konfiguracji początkowej

\mathbf{x} - wektor wodzący punktu materialnego $P(X_i)$ w konfiguracji zdeformowanej

\mathbf{u} - wektor wodzący przy przejściu ciała ze stanu początkowego do zdeformowanego

Wektory \mathbf{X} i \mathbf{x} można zapisać dokonując rozkładu:

$$\mathbf{X} = X_1 \mathbf{I}_1 + X_2 \mathbf{I}_2 + X_3 \mathbf{I}_3 = X_K \mathbf{I}_K, \text{ (współrzędne materialne)}$$

$$\mathbf{x} = x_1 \mathbf{e}_1 + x_2 \mathbf{e}_2 + x_3 \mathbf{e}_3 = x_k \mathbf{e}_k, \text{ (współrzędne przestrzenne)}$$

Wzajemna orientacja obu układów współrzędnych jest określona wektorem \mathbf{b} oraz kosinusami kierunkowymi między osiami układów, które są iloczynami skalarnymi wersorów obu układów

$$\mathbf{e}_k \cdot \mathbf{I}_K = \mathbf{I}_K \cdot \mathbf{e}_k = n_{kK} = n_{Kk} \quad (1.1)$$

Wektor przemieszczenia \mathbf{u} można rozłożyć w obu układach

$$\mathbf{U} = U_K \mathbf{I}_K, \quad (1.2)$$

$$\mathbf{u} = u_k \mathbf{e}_k, \quad (1.3)$$

po wymnożeniu skalarnym równości (1.1) przez \mathbf{I}_K otrzymuje się

$$\mathbf{e}_k = n_{kK} \mathbf{I}_K, \quad (1.4)$$

oraz $\mathbf{U} = \mathbf{u}$, stąd

$$\mathbf{u} = u_k n_{kK} \mathbf{I}_K, \quad (1.5)$$

otrzymuje się prawo transformacji współrzędnych wektora przemieszczenia z układu współrzędnych przestrzennych do układu współrzędnych materialnych

$$U_K = n_{kK} u_k. \quad (1.6)$$

Punkty materialne ciała doznającego narastającej deformacji poruszają się po torach będących ciągiem punktów w przestrzeni o współrzędnych X_i lub x_k ($i=k=1,2,3$) [1]. Dlatego ruch może być opisany na dwa sposoby, za pomocą wektora wodzącego punktu materialnego \mathbf{X} lub \mathbf{x} . Pierwszy sposób opisuje ruch punktu za pomocą wektora $x_i = x_i(\mathbf{X}, t)$. Wektor wodzący \mathbf{x} punktu P w konfiguracji odkształconej jest funkcją wektora \mathbf{X} . Mówi się wtedy o opisie stacjonarnym Lagrange'a. Drugi sposób, to opis ruchu punktu za pomocą wektora $\mathbf{X} = X_i(\mathbf{x}, t)$. Mówi się wtedy o opisie Eulera. Wzajemne zależności między współrzędnymi obu układów są funkcjami wzajemnie jednoznacznymi i różniczkowalnymi dowolną liczbę razy. Warunkiem koniecznym i dostatecznym tego postulatu jest aby wyznacznik $\det(x_{k,K})$ był różny od zera:

$$\det \begin{bmatrix} \frac{\partial x_1}{\partial X_1} & \frac{\partial x_1}{\partial X_2} & \frac{\partial x_1}{\partial X_3} \\ \frac{\partial x_2}{\partial X_1} & \frac{\partial x_2}{\partial X_2} & \frac{\partial x_2}{\partial X_3} \\ \frac{\partial x_3}{\partial X_1} & \frac{\partial x_3}{\partial X_2} & \frac{\partial x_3}{\partial X_3} \end{bmatrix} = \det(x_{k,K}) \neq 0.$$

Do opisu deformacji ciała w układach współrzędnych materialnym i przestrzennym wprowadza się pojęcie gradientów deformacji i przemieszczenia. Materialnym gradientem deformacji nazywa się tensor o walencji dwa:

$$\mathbf{F} = \frac{\partial x_i}{\partial X_K} \mathbf{e}_i \otimes \mathbf{I}_K, \quad (1.7)$$

Reprezentacją macierzową tego tensora jest

$$F_{iK} = \frac{\partial x_i}{\partial X_K} = x_{i,K} = \begin{bmatrix} \frac{\partial x_1}{\partial X_1} & \frac{\partial x_1}{\partial X_2} & \frac{\partial x_1}{\partial X_3} \\ \frac{\partial x_2}{\partial X_1} & \frac{\partial x_2}{\partial X_2} & \frac{\partial x_2}{\partial X_3} \\ \frac{\partial x_3}{\partial X_1} & \frac{\partial x_3}{\partial X_2} & \frac{\partial x_3}{\partial X_3} \end{bmatrix}, \quad (1.8)$$

Zależnością odwrotną jest przestrzenny gradient deformacji

$$\mathbf{H} = \frac{\partial X_K}{\partial x_i} I_K \otimes e_i, \quad (1.9)$$

którego reprezentacją macierzową jest

$$\mathbf{H} = \begin{bmatrix} \frac{\partial X_1}{\partial x_1} & \frac{\partial X_1}{\partial x_2} & \frac{\partial X_1}{\partial x_3} \\ \frac{\partial X_2}{\partial x_1} & \frac{\partial X_2}{\partial x_2} & \frac{\partial X_2}{\partial x_3} \\ \frac{\partial X_3}{\partial x_1} & \frac{\partial X_3}{\partial x_2} & \frac{\partial X_3}{\partial x_3} \end{bmatrix}. \quad (1.10)$$

Macierze F_{iK} i H_{Ki} związane są relacją

$$\frac{\partial x_i}{\partial X_J} \cdot \frac{\partial X_J}{\partial x_k} = \delta_{iK}, \quad (1.11)$$

co pozwala zapisać

$$\mathbf{H} = \mathbf{F}^{-1}. \quad (1.12)$$

Materialny gradient przemieszczenia \mathbf{Y}

$$\mathbf{Y} = \frac{\partial U_I}{\partial X_K} I_I \otimes I_K, \quad (1.13)$$

stosując zapis wskaźnikowy

$$Y_{IK} = U_{I,K}, \quad (1.14)$$

Przestrzenny gradient przemieszczenia

$$\mathbf{K} = \frac{\partial u_i}{\partial x_k} \mathbf{e}_i \otimes \mathbf{e}_k, \quad (1.15)$$

w zapisie wskaźnikowym

$$K_{ik} = u_{i,k}, \quad (1.16)$$

Różniczkując równanie $\mathbf{u} = \mathbf{x} - \mathbf{X}$ względem współrzędnych materialnych otrzymuje się

$$\mathbf{Y} = \frac{\partial x_i}{\partial X_K} \mathbf{e}_i \otimes \mathbf{I}_K - \delta_{iK} \mathbf{I}_I \otimes \mathbf{I}_K = \mathbf{F} - \mathbf{I}, \quad (1.17)$$

gdzie \mathbf{I} jest tensorem metrycznym o reprezentacji macierzowej jako macierz jednostkowa i może być opisany deltą Kroneckera. Różniczkowanie równania $\mathbf{u} = \mathbf{x} - \mathbf{X}$ względem współrzędnych przestrzennych prowadzi do wyniku

$$\mathbf{K} = \delta_{ik} \mathbf{e}_i \otimes \mathbf{e}_k - \frac{\partial X_l}{\partial x_k} \mathbf{I}_l \otimes \mathbf{e}_k = \mathbf{I} - \mathbf{H}. \quad (1.18)$$

1.2 Miary odkształcenia

Przyjęto pokrywające się układy współrzędnych [1]. Można wtedy stosować jednolite wskaźniki. Definiuje się kwadrat długości wektora $d\mathbf{X}$

$$(d\mathbf{X})^2 = d\mathbf{X} \cdot d\mathbf{X} = dX_i dX_i = \delta_{ij} dX_i dX_j, \quad (1.19)$$

różniczka zupełna i-tej współrzędnej wynosi

$$dX_i = \frac{\partial X_i}{\partial x_j} dx_j, \quad (1.20)$$

po rozpisaniu

$$\begin{aligned} dX_1 &= X_{1,1} dx_1 + X_{1,2} dx_2 + X_{1,3} dx_3 \\ dX_2 &= X_{2,1} dx_1 + X_{2,2} dx_2 + X_{2,3} dx_3, \\ dX_3 &= X_{3,1} dx_1 + X_{3,2} dx_2 + X_{3,3} dx_3 \end{aligned} \quad (1.21)$$

lub

$$d\mathbf{X} = \mathbf{H} dx, \quad (1.22)$$

Kwadrat długości $(d\mathbf{X})^2$ można przedstawić także jako iloczyn zależności (1.20) przez siebie:

$$(d\mathbf{X})^2 = \frac{\partial X_k}{\partial x_j} \frac{\partial X_k}{\partial x_i} dx_j dx_i, \quad (1.23)$$

gdzie $C_{ij} = \frac{\partial X_k}{\partial x_i} \frac{\partial X_k}{\partial x_j}$ oraz

$$\mathbf{C} = \mathbf{H}^T \mathbf{H}, \quad (1.24)$$

Zależność (2.24) jest definicją tensora deformacji Cauchy'ego.

Kwadrat długości w konfiguracji zdeformowanej $(d\mathbf{x})^2$ wynosi

$$(d\mathbf{x})^2 = d\mathbf{x} \cdot d\mathbf{x} = \delta_{ij} dx_i dx_j, \quad (1.25)$$

$$dx_i = \frac{\partial x_i}{\partial X_j} dX_j, \quad (1.26)$$

$$d\mathbf{x} = \mathbf{F} \cdot d\mathbf{X}, \quad (1.27)$$

$$(d\mathbf{x})^2 = \frac{\partial x_k}{\partial X_i} \frac{\partial x_k}{\partial X_j} dX_i dX_j, \quad (1.28)$$

$$G_{ij} = \frac{\partial x_k}{\partial X_i} \frac{\partial x_k}{\partial X_j} \quad \text{lub inaczej} \quad \mathbf{G} = \mathbf{F}^T \mathbf{F}. \quad (1.29)$$

Różnica kwadratów $(d\mathbf{x})^2 - (d\mathbf{X})^2$ jest równa:

$$(d\mathbf{x})^2 - (d\mathbf{X})^2 = \left(\frac{\partial x_k}{\partial X_i} \frac{\partial x_k}{\partial X_j} - \delta_{ij} \right) dX_i dX_j, \quad (1.30)$$

jeśli wprowadzimy oznaczenie:

$$L_{ij} = \frac{1}{2} \left(\frac{\partial x_k}{\partial X_i} \frac{\partial x_k}{\partial X_j} - \delta_{ij} \right), \quad (1.31)$$

to

$$(d\mathbf{x})^2 - (d\mathbf{X})^2 = 2L_{ij} dX_i dX_j = d\mathbf{X}^T \mathbf{2L} d\mathbf{X}. \quad (1.32)$$

Tensor \mathbf{L} o składowych L_{ij} przy wprowadzeniu materialnego gradientu deformacji przyjmie postać:

$$\mathbf{L} = \frac{1}{2} (\mathbf{F}^T \mathbf{F} - \mathbf{I}) = \frac{1}{2} (\mathbf{G} - \mathbf{I}), \quad (1.33)$$

i nazywa się tensorem odkształceń skończonych Lagrange'a – Greena. Różnicę kwadratów można wyrazić również przez związki (1.23) i (1.25)

$$(d\mathbf{x})^2 - (d\mathbf{X})^2 = \frac{1}{2} \left(\delta_{ij} - \frac{\partial X_k}{\partial x_i} \frac{\partial X_k}{\partial x_j} \right) dx_i dx_j, \quad (1.34)$$

oznaczając

$$E_{ij} = \frac{1}{2} \left(\delta_{ij} - \frac{\partial X_k}{\partial x_i} \frac{\partial X_k}{\partial x_j} \right) dx_i dx_j, \quad (1.35)$$

otrzymuje się zależność:

$$(d\mathbf{x})^2 - (d\mathbf{X})^2 = 2E_{ij} dx_i dx_j = d\mathbf{x}^T \mathbf{2E} d\mathbf{x}. \quad (1.36)$$

Tensor \mathbf{E} o składowych E_{ij} przy wprowadzeniu przestrzennego gradientu deformacji opisany jest zależnością

$$\mathbf{E} = \frac{1}{2} (\mathbf{I} - \mathbf{H}^T \mathbf{H}) = \frac{1}{2} (\mathbf{I} - \mathbf{C}), \quad (1.37)$$

i nazywa się tensorem odkształceń skończonych Eulera – Almansiiego. Odnosi on zmianę długości rozpatrywanego odcinka PQ do układu związanego z ciałem.

Z zależności $x_k = u_k - X_k$ otrzymuje się równość:

$$\frac{\partial x_k}{\partial X_i} = \frac{\partial u_k}{\partial X_i} + \delta_{ki}, \quad (1.38)$$

a po podstawieniu do (1.35) otrzymamy:

$$L_{ij} = \frac{1}{2} \left(\frac{\partial u_k}{\partial X_i} \frac{\partial u_k}{\partial X_j} + \frac{\partial u_k}{\partial X_i} \delta_{kj} + \frac{\partial u_k}{\partial X_j} \delta_{ki} + \delta_{ki} \delta_{kj} - \delta_{ij} \right), \quad (1.39)$$

oraz $\frac{\partial u_k}{\partial X_i} \delta_{kj} = \frac{\partial u_j}{\partial X_i}$, $\frac{\partial u_k}{\partial X_i} \delta_{ki} = \frac{\partial u_i}{\partial X_j}$ i $\delta_{kj} = \delta_{ki}$,

stąd

$$L_{ij} = \frac{1}{2} (U_{i,j} + U_{j,i} + U_{k,i} U_{k,j}), \quad (1.40)$$

Różniczkując zależność $X_k = x_k - u_k$ po „ x_i ” i „ x_j ” otrzymuje się relacje

$$\frac{\partial X_k}{\partial x_i} = \delta_{ki} - \frac{\partial u_k}{\partial x_i} \quad \text{oraz} \quad \frac{\partial X_k}{\partial x_j} = \delta_{kj} - \frac{\partial u_k}{\partial x_j}, \quad \text{stąd}$$

$$E_{ij} = \frac{1}{2} (u_{i,j} + u_{j,i} - u_{k,i} u_{k,j}), \quad (1.41)$$

lub zapisane inaczej

$$\mathbf{E} = \frac{1}{2} (\mathbf{K} + \mathbf{K}^T + \mathbf{K}^T \mathbf{K}), \quad (1.42)$$

W mechanice nieliniowej dokonuje się rozkładu tensorów odkształceń skończonych na część liniową i nieliniową. Składowe tensorów tworzą sumę:

$$L_{ij} = l_{ij} + \eta_{ij}, \quad (1.43)$$

$$E_{ij} = e_{ij} + \bar{\eta}_{ij}, \quad (1.44)$$

1.3 Opis stanu naprężenia

Opis stanu naprężenia prowadzony jest w konfiguracji zdeformowanej ciała [1]. Na elementarną powierzchnię da otaczającą punkt P, zorientowaną jednostkowym wektorem normalnej zewnętrznej $\mathbf{n} = n_i \mathbf{e}_i$ działa elementarna siła kontaktowa $d\mathbf{f} = df_i \mathbf{e}_i$, to

$$\mathbf{t}^{(n)} = \frac{\partial \mathbf{f}}{\partial a}, \quad (1.45)$$

jest naprężeniem Cauchy’ego w punkcie P(x_1, x_2, x_3). Przez punkt P można poprowadzić nieskończenie wiele przekrojów i na każdym z nich określić elementarną powierzchnię da oraz

określić wektor $\mathbf{t}^{(n)}$. Zbiór wszystkich par (\mathbf{t}, \mathbf{n}) definiuje stan naprężenia w punkcie P. Wystarczy wybrać trzy wzajemnie prostopadłe przekroje aby zdefiniować jednoznacznie stan naprężenia w punkcie P. Stan naprężenia w punkcie można zdefiniować przez wprowadzenie tensora naprężenia Cauchy'ego σ_{ij} . W teorii dużych przemieszczeń istotny jest dobór konfiguracji ciała. Stan naprężenia w punkcie określany jest na nieznannej konfiguracji ciała po deformacji. Należy wtedy odnieść stan naprężenia w konfiguracji zdeformowanej do konfiguracji początkowej, która jest znana. Rozważa się powierzchnię dA w konfiguracji początkowej C^0 , która w wyniku deformacji przechodzi w da . Jednostkowy wektor \mathbf{N} staje się w konfiguracji C^1 wektorem \mathbf{n} . Wprowadza się siły kontaktowe:

$$\mathbf{T}^{(N)} dA = \mathbf{t}^{(n)} da, \quad (1.46)$$

Między polami dA i da zachodzi związek

$$\mathbf{n} da = \mathbf{JH}^T \mathbf{N} dA, \quad (1.47)$$

gdzie $J = \det \mathbf{F}$

$$\mathbf{t}^{(n)} = \mathbf{Tn} = \sigma_{ij} n_j e_i, \quad (1.48)$$

Tensor naprężenia w konfiguracji początkowej C^0 I tensor Pioli-Kirchhoffa

$$\mathbf{T}^{(N)} = \mathbf{T}^{(1)} \mathbf{N} = t_{ij}^{(1)} N_j I_i, \quad (1.49)$$

Po podstawieniu (1.48) i (1.49) do (1.46) i wykorzystaniu zależności (1.47) można określić związek między I tensorem Pioli-Kirchhoffa a tensorem Cauchy'ego

$$\mathbf{T}^{(1)} = \mathbf{JTH}^T, \quad (1.50)$$

zapisany inaczej

$$t_{ij}^{(1)} = \mathbf{JH}_{jk} \sigma_{ki}, \quad (1.51)$$

Pierwszy tensor Pioli-Kirchhoffa jest obiektem niesymetrycznym z uwagi na niesymetryczność przestrzennego gradientu deformacji \mathbf{H} . Można zdefiniować zależność odwrotną

$$\sigma_{ij} = J^{-1} F_{ik} t_{jk}^{(1)}, \quad (1.52)$$

Pochodna tensora naprężenia Cauchy'ego obliczana w konfiguracji zdeformowanej przyjmuje postać

$$\frac{\partial}{\partial x_j} \sigma_{ij} = J^{-1} \frac{\partial}{\partial X_j} t_{ij}^{(1)}, \quad (1.53)$$

Różniczkowanie tensora $t_{ij}^{(1)}$ odbywa się w konfiguracji początkowej C^0 . Równania równowagi można zapisywać w konfiguracji początkowej C^0

$$t_{ij,j}^{(1)} + \rho^0 F_i = 0, \quad (1.54)$$

gdzie $\rho^1 = \rho^0 J^{-1}$.

W teorii dużych deformacji ma zastosowanie również II tensor Pioli-Kirchoffa, który jest opisany zależnością

$$\mathbf{T}^{(2)} = \mathcal{J} \mathbf{H} \mathbf{T} \mathbf{H}^T, \quad (1.55)$$

lub inaczej

$$t_{ij}^{(2)} = \mathcal{J} H_{ik} \sigma_{kl} H_{lj}, \quad (1.56)$$

II tensor Pioli-Kirchoffa występuje w równaniu pracy wirtualnej zapisanemu w konfiguracji zdeformowanej, która jest przeniesiona do konfiguracji początkowej

$$\int_{V^{(1)}} \sigma_{ij} \delta \varepsilon_{ij} dV^{(1)} = \int_{V^{(0)}} t_{ij}^{(2)} \delta L_{ij} dV^{(0)}, \quad (1.57)$$

I i II tensor Pioli-Kirchoffa związane są zależnością

$$\mathbf{T}^{(1)} = \mathbf{F} \mathbf{T}^{(2)}, \quad (1.58)$$

lub inaczej

$$t_{ij}^{(1)} = F_{ik} t_{kj}^{(2)}, \quad (1.59)$$

gdzie

$$F_{ik} = \frac{\partial x_i}{\partial X_k} = \frac{\partial u_i}{\partial X_k} + \delta_{ik}, \quad (1.60)$$

2. Zginanie płyt cienkich

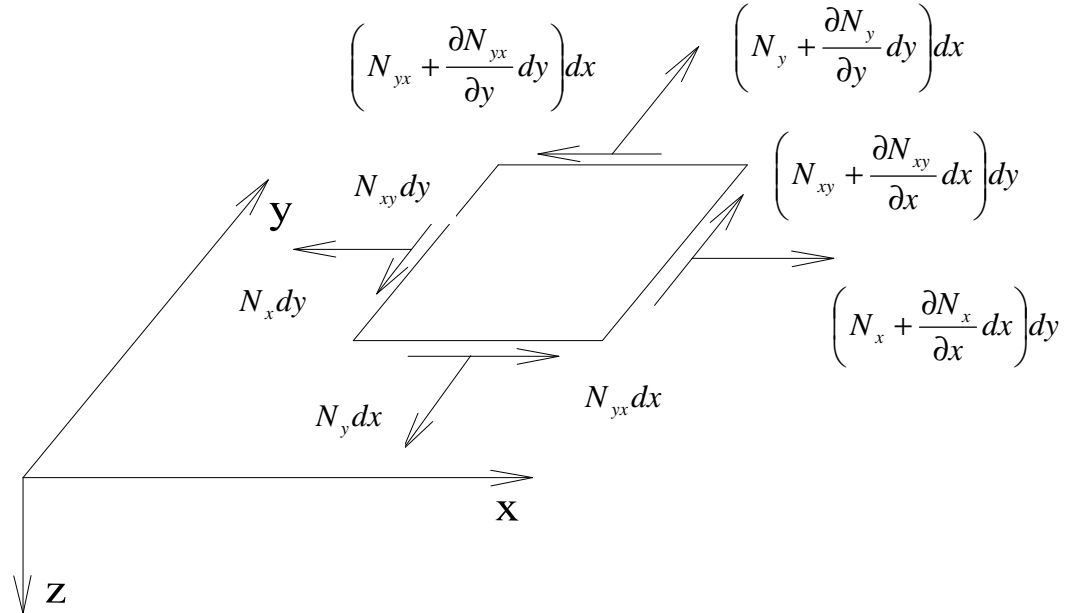
2.1. Analiza geometrycznie nieliniowa

Przy dużych deformacjach punkty płaszczyzny środkowej doznają przemieszczeń w , u oraz v , gdzie przemieszczenia u i v wywołane są stanem tarczowym. Przemieszczeniom tym odpowiadają naprężenia równomiernie rozłożone po grubości płyty σ_x , σ_y i τ_{xy} . Siły przekrojowe opisujące stan tarczowy:

$$\begin{aligned} N_x &= \sigma_x \cdot t, \\ N_y &= \sigma_y \cdot t, \\ N_{xy} &= \tau_{xy} \cdot t, \end{aligned} \quad (2.1)$$

Miarą dużego przemieszczenia może być grubość płyty t . Rozważa się umiarkowanie duże przemieszczenia. Na stan sił w płycie o dużych przemieszczeniach składają się M_x , M_y , M_{xy} oraz N_x , N_y i N_{xy} . Siły tarczowe mogą być rezultatem obciążenia zewnętrznego stycznego

przyłożonego wzdłuż kierunków osi x i y lub wynikiem ugięć większych niż 10 do 20 % grubości płyty. Wartości tych sił rosną w miarę narastania ugięć płyty [1].



Rys. 2.1

Po zsumowaniu rzutu sił N_x na kierunek osi z

$$-N_x \frac{\partial(w+w_0)}{\partial x} \partial y + \left(N_x + \frac{\partial N_x}{\partial x} dx\right) dy \left(\frac{\partial(w+w_0)}{\partial x} + \frac{\partial^2(w+w_0)}{\partial x^2} dx\right), \quad (2.2)$$

Po pominięciu wartości wyższego rzędu otrzymuje się składowe pionowe sił tarczowych

$$N_x \frac{\partial^2(w+w_0)}{\partial x^2}, \quad N_y \frac{\partial^2(w+w_0)}{\partial y^2} \quad \text{oraz} \quad 2N_{xy} \frac{\partial^2(w+w_0)}{\partial x \partial y}. \quad \text{Zakłada się, że } N_{xy} = N_{yx}.$$

Składowe pionowe sił membranowych dodaje się do prawej strony równania płyty

$$D \left(\frac{\partial^4 w}{\partial x^4} + 2 \frac{\partial^4 w}{\partial x^2 \partial y^2} + \frac{\partial^4 w}{\partial y^4} \right) = p_z + N_x \frac{\partial^2(w_0+w)}{\partial x^2} + N_y \frac{\partial^2(w_0+w)}{\partial y^2} + 2N_{xy} \frac{\partial^2(w+w_0)}{\partial x \partial y}, \quad (2.3)$$

gdzie D jest sztywnością płyty $D = \frac{Et^3}{12(1-\nu^2)}$, p_z jest obciążeniem rozłożonym po powierzchni

płyty na kierunku osi z . Zakłada się, że istnieje funkcja $F(x, y)$ taka, że

$$\begin{aligned} \sigma_x^m &= \frac{N_x}{t} = \frac{\partial^2 F}{\partial y^2}, \\ \sigma_y^m &= \frac{N_y}{t} = \frac{\partial^2 F}{\partial x^2}, \end{aligned} \quad (2.4)$$

$$\tau_{xy}^m = \frac{N_{xy}}{t} = -\frac{\partial^2 F}{\partial x \partial y},$$

wtedy

$$D \left(\frac{\partial^4 w}{\partial x^4} + 2 \frac{\partial^4 w}{\partial x^2 \partial y^2} + \frac{\partial^4 w}{\partial y^4} \right) = p_z + t \left(\frac{\partial^2 (w + w_0)}{\partial x \partial y} \frac{\partial^2 F}{\partial y^2} + \frac{\partial^2 (w + w_0)}{\partial y^2} \frac{\partial^2 F}{\partial x^2} - 2 \frac{\partial^2 (w + w_0)}{\partial x \partial y} \frac{\partial^2 F}{\partial x \partial y} \right), \quad (2.5)$$

W równaniu (2.5) są dwie niewiadome: funkcja ugięcia w i funkcja naprężeń F . Wykorzystuje się związek nierozdzielności odkształceń dla płaszczyzny środkowej płyty

$$\frac{\partial^2 \varepsilon_x}{\partial y^2} + \frac{\partial^2 \varepsilon_y}{\partial x^2} - 2 \frac{\partial^2 \varepsilon_{xy}}{\partial x \partial y} = 0, \quad (2.6)$$

do którego należy podstawić składowe tensora odkształceń Lagrange'a. W przypadku dużych ugięć płyty długość elementarnego odcinka powierzchni środkowej w płaszczyźnie $x - z$ wynosi

$$ds_0 = dx \sqrt{1 + \left(\frac{\partial w_0}{\partial x} \right)^2} \approx dx \left(1 + \frac{1}{2} \left(\frac{\partial w_0}{\partial x} \right)^2 \right), \quad (2.7)$$

po ugięciu

$$ds = dx \sqrt{1 + \left(\frac{\partial (w + w_0)}{\partial x} \right)^2} \approx dx \left(1 + \frac{1}{2} \left(\frac{\partial (w + w_0)}{\partial x} \right)^2 \right), \quad (2.8)$$

część nieliniowa tensora odkształcenia w płaszczyźnie $x - z$

$$\begin{aligned} \eta_x &= \frac{ds - ds_0}{ds_0} = \frac{\partial w_0}{\partial x} \frac{\partial w}{\partial x} + \frac{1}{2} \left(\frac{\partial w}{\partial x} \right)^2, \\ \eta_y &= \frac{\partial w_0}{\partial y} \frac{\partial w}{\partial y} + \frac{1}{2} \left(\frac{\partial w}{\partial y} \right)^2, \\ \eta_{xy} &= \frac{\partial w_0}{\partial y} \frac{\partial w}{\partial x} + \frac{\partial w_0}{\partial x} \frac{\partial w}{\partial y} + \frac{\partial w}{\partial x} \frac{\partial w}{\partial y}, \end{aligned} \quad (2.9)$$

stąd

$$\begin{aligned} L_x &= l_x + \eta_x = \frac{\partial u}{\partial x} + \frac{\partial w_0}{\partial x} \frac{\partial w}{\partial x} + \frac{1}{2} \left(\frac{\partial w}{\partial x} \right)^2, \\ L_y &= l_y + \eta_y = \frac{\partial v}{\partial y} + \frac{\partial w_0}{\partial y} \frac{\partial w}{\partial y} + \frac{1}{2} \left(\frac{\partial w}{\partial y} \right)^2, \\ 2L_{xy} &= l_{xy} + \eta_{xy} = \frac{\partial u}{\partial y} + \frac{\partial v}{\partial x} + \frac{\partial w_0}{\partial y} \frac{\partial w}{\partial x} + \frac{\partial w}{\partial x} \frac{\partial w}{\partial y}, \end{aligned} \quad (2.10)$$

W płaszczyźnie środkowej płyty odkształcenia te wywołane są tylko siłami tarczowymi

$$\begin{aligned} L_x &= \frac{1}{E}(\sigma_x^m - \nu\sigma_y^m) = \frac{1}{E}\left(\frac{\partial^2 F}{\partial y^2} - \nu\frac{\partial^2 F}{\partial x^2}\right), \\ L_y &= \frac{1}{E}(\sigma_y^m - \nu\sigma_x^m) = \frac{1}{E}\left(\frac{\partial^2 F}{\partial x^2} - \nu\frac{\partial^2 F}{\partial y^2}\right), \\ 2L_{xy} &= \frac{2(1+\nu)}{E}\tau_{xy}^m = -\frac{2(1+\nu)}{E}\frac{\partial^2 F}{\partial x\partial y}, \end{aligned} \quad (2.11)$$

Wprowadzenie związków (2.10) i (2.11) do równania nierozdzielności odkształceń (2.6) prowadzi do zależności

$$\begin{aligned} &\left(\frac{\partial^4 F}{\partial x^4} + 2\frac{\partial^4 F}{\partial x^2\partial y^2} + \frac{\partial^4 F}{\partial y^4}\right) = \\ &= E\left\{\left[\left(\frac{\partial^2 w}{\partial x\partial y}\right)^2 - \frac{\partial^2 w}{\partial x^2}\frac{\partial^2 w}{\partial y^2}\right] - \left[\frac{\partial^2 w_0}{\partial x^2}\frac{\partial^2 w}{\partial y^2} + \frac{\partial^2 w_0}{\partial y^2}\frac{\partial^2 w}{\partial x^2} - 2\frac{\partial^2 w_0}{\partial x\partial y}\frac{\partial^2 w}{\partial x\partial y}\right]\right\}, \end{aligned} \quad (2.12)$$

Zależności (2.5) i (2.12) są równaniami nieliniowej teorii dużych ugięć płyt w zakresie sprężystym materiału. Ścisłe rozwiązania ogólne tych równań nie istnieją. Gdy ugięcia płyty są małe równania (2.5) i (2.12) rozprzegają się stając się niezależnymi. Związek (2.12) przechodzi w równanie biharmoniczne tarczy a (2.5) staje się klasycznym równaniem płyty cienkiej.

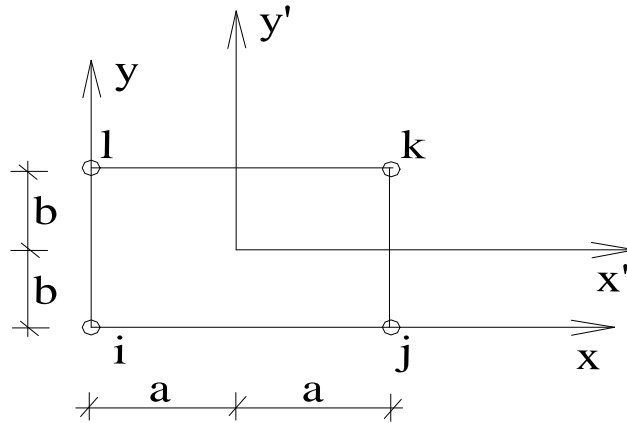
2.2 Zastosowanie metody elementów skończonych

Do analizy numerycznej wykorzystano prostokątny element powierzchniowy (płytowo-tarczowy) o pięciu stopniach swobody w węźle. Element powłokowy jest złożeniem elementu tarczowego czterowęzłowego o dwóch stopniach swobody w węźle z elementem płytowym o trzech stopniach swobody w węźle.

2.3 Opis prostokątnego czterowęzłowego elementu tarczowego

Pole przemieszczeń wewnątrz elementu może być aproksymowane za pomocą wielomianów:

$$\begin{aligned} u &= a_1 + a_2x + a_3y + a_4xy \\ v &= a_5 + a_6x + a_7y + a_8xy \end{aligned} \quad (2.13)$$



Rys. 2.2

W zapisie macierzowym

$$\mathbf{u} = \begin{Bmatrix} u \\ v \end{Bmatrix} = \begin{bmatrix} 1 & x & y & xy & 0 & 0 & 0 & 0 \\ 0 & 0 & 0 & 0 & 1 & x & y & xy \end{bmatrix} \begin{Bmatrix} a_1 \\ \cdot \\ \cdot \\ \cdot \\ a_8 \end{Bmatrix} = \mathbf{Pa}, \quad (2.14)$$

Po podstawieniu do związków (2.13) znanych współrzędnych węzłów (i-tego węzła, $i=1,2,3,4$)

$$\begin{aligned} u_i &= a_1 + a_2 x_i + a_3 y_i + a_4 x_i y_i \\ v_i &= a_5 + a_6 x_i + a_7 y_i + a_8 x_i y_i, \end{aligned} \quad (2.15)$$

w zapisie macierzowym

$$\mathbf{r} = \mathbf{Ca}, \quad (2.16)$$

można obliczyć nieznane współczynniki a_i

$$\mathbf{a} = \mathbf{C}^{-1} \mathbf{r}, \quad (2.17)$$

gdzie \mathbf{r} jest wektorem stopni swobody węzłów (przemieszczeń węzłowych). Stąd

$$\mathbf{u} = \mathbf{Pa} = \mathbf{PC}^{-1} \mathbf{r} = \mathbf{Nr}, \quad (2.18)$$

\mathbf{N} jest macierzą funkcji kształtu opisujących pole przemieszczeń wewnątrz elementu w funkcji przemieszczeń węzłów. Funkcje kształtu są postaci

$$\begin{aligned} N_i &= \left(1 - \frac{x}{2a}\right) \left(1 - \frac{y}{2b}\right), & N_j &= \frac{x}{2a} \left(1 - \frac{y}{2b}\right), \\ N_k &= \frac{x}{2a} \frac{y}{2b}, & N_l &= \left(1 - \frac{x}{2a}\right) \frac{y}{2b}, \end{aligned} \quad (2.19)$$

Innym podejściem, jest sformułowanie izoparametryczne, gdzie funkcje kształtu są wyrażone we współrzędnych znormalizowanych ξ, η . Wtedy za pomocą tych samych funkcji kształtu można przedstawić przemieszczenia u i v oraz zmienne x i y .

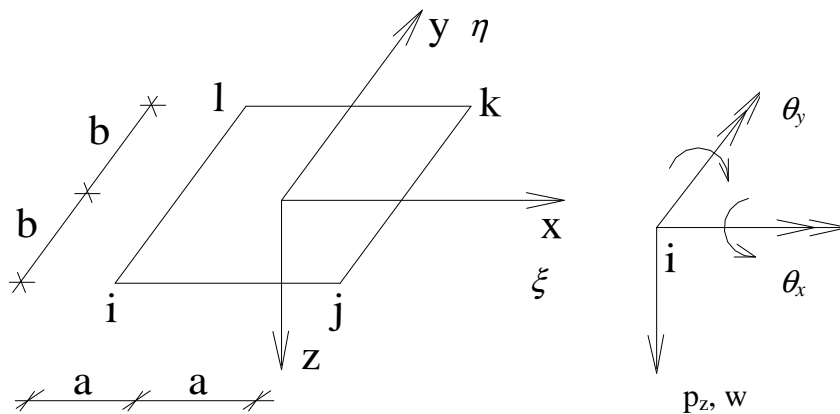
$$\begin{cases} x = \sum_{\alpha=i}^l N'_\alpha x_\alpha \\ y = \sum_{\alpha=i}^l N'_\alpha y_\alpha \end{cases}, \quad (2.20)$$

oraz

$$\begin{cases} u = \sum_{\alpha=i}^l N'_\alpha u_\alpha \\ v = \sum_{\alpha=i}^l N'_\alpha v_\alpha \end{cases}, \quad (2.21)$$

Te same funkcje kształtu opisują pole przemieszczeń wewnątrz elementu oraz jego geometrię.

2.4 Opis prostokątnego czterowęzłowego elementu płytowego



Rys. 2.3

Każdy węzeł posiada trzy stopnie swobody $w_\alpha, \theta_{x\alpha}, \theta_{y\alpha}$ ($\alpha = i, j, k, l$). Wektor przemieszczeń węzłowych elementu ma postać

$$\{r^b\}^T = \{w_i, \theta_{xi}, \theta_{yi}, \dots, w_l, \theta_{xl}, \theta_{yl}\}^T, \quad (2.22)$$

Pole przemieszczeń można opisać wielomianem

$$\begin{aligned} w = a_1 + a_2x + a_3y + a_4x^2 + a_5xy + a_6y^2 + a_7x^3 + \\ + a_8x^2y + a_9xy^2 + a_{10}y^3 + a_{11}x^3y + a_{12}xy^3, \end{aligned} \quad (2.23)$$

W zapisie macierzowym

$$\mathbf{w} = \begin{bmatrix} 1 & x & y & x^2 & xy & y^2 & x^3 & x^2y & xy^2 & y^3 & x^{3y} & xy^3 \end{bmatrix} \begin{Bmatrix} a_1 \\ \cdot \\ \cdot \\ \cdot \\ a_{12} \end{Bmatrix} = \mathbf{Pa}, \quad (2.24)$$

uwzględniając związki

$$\begin{aligned} w_{,x} &= \theta_y, \\ w_{,y} &= -\theta_x, \end{aligned} \quad (2.25)$$

oraz podstawiając do (2.23) i (2.25) przemieszczenia węzłowe r_α^b można wyznaczyć nieznane wartości a_i

$$\mathbf{r}^b = \mathbf{Ca}, \quad (2.26)$$

stąd

$$\mathbf{a} = \mathbf{C}^{-1}\mathbf{r}^b, \quad (2.27)$$

Macierz funkcji kształtu będzie wynosiła

$$\mathbf{N}^b = \mathbf{PC}^{-1}, \quad (2.28)$$

gdzie

$$\mathbf{N}_b = [\mathbf{N}_i^b \quad \mathbf{N}_j^b \quad \mathbf{N}_k^b \quad \mathbf{N}_l^b], \quad (2.29)$$

$$\{\mathbf{N}_\alpha^b\}^T = \frac{1}{2} \begin{bmatrix} (\xi_0 + 1)(\eta_0 + 1)(2 + \xi_0 + \eta_0 - \xi^2 - \eta^2) \\ a\xi_\alpha(1 + \xi_0)^2(\xi_0 - 1)(\eta_0 + 1) \\ b\eta_\alpha(1 + \xi_0)(\xi_0 + 1)^2(\eta_0 - 1) \end{bmatrix}, \quad (2.30)$$

gdzie $\xi_0 = \xi \cdot \xi_\alpha$, $\eta_0 = \eta \cdot \eta_\alpha$, $\alpha = i, j, k, l$.

Zgodnie z hipotezą Kirchhoffa otrzymuje się zależności

$$\begin{aligned} u &= -z \frac{\partial w}{\partial x} = -z \mathbf{N}_{,x}^b \mathbf{r}^b \\ v &= -z \frac{\partial w}{\partial y} = -z \mathbf{N}_{,y}^b \mathbf{r}^b, \end{aligned} \quad (2.31)$$

Macierz liniowa funkcji kształtu odkształceń ma postać

$$\mathbf{B}_L^b = \begin{Bmatrix} -z \mathbf{N}_{,xx}^b \\ -z \mathbf{N}_{,yy}^b \\ -2z \mathbf{N}_{,xy}^b \end{Bmatrix}, \quad (2.32)$$

Dla dużych ugięć płyty oraz przy uwzględnieniu ugięcia początkowego należy uwzględnić składowe nieliniowe

$$\boldsymbol{\eta}^b = \begin{Bmatrix} \eta_x^b \\ \eta_y^b \\ \eta_{xy}^b \end{Bmatrix} = \begin{bmatrix} \frac{\partial w_0}{\partial x} & 0 \\ 0 & \frac{\partial w_0}{\partial y} \\ \frac{\partial w_0}{\partial y} & \frac{\partial w_0}{\partial x} \end{bmatrix} \begin{Bmatrix} \frac{\partial w}{\partial x} \\ \frac{\partial w}{\partial y} \end{Bmatrix} + \frac{1}{2} \begin{bmatrix} \frac{\partial w}{\partial x} & 0 \\ 0 & \frac{\partial w}{\partial y} \\ \frac{\partial w}{\partial y} & \frac{\partial w}{\partial x} \end{bmatrix} \begin{Bmatrix} \frac{\partial w}{\partial x} \\ \frac{\partial w}{\partial y} \end{Bmatrix}, \quad (2.33)$$

Jeśli pole przemieszczeń początkowych opisze się za pomocą tych samych funkcji kształtu, które opisują ugięcia powstałe od działających obciążeń, wówczas wektor nieliniowych odkształceń $\boldsymbol{\eta}^b$ będzie miał postać

$$\boldsymbol{\eta}^b = \mathbf{B}_0^b \mathbf{r}^b + \frac{1}{2} \mathbf{B}_{NL}^b \mathbf{r}^b, \quad (2.34)$$

$$\mathbf{B}_0^b = \begin{bmatrix} (\mathbf{r}_0^b)^T (\mathbf{N}_{,x}^b)^T & 0 \\ 0 & (\mathbf{r}_0^b)^T (\mathbf{N}_{,y}^b)^T \\ (\mathbf{r}_0^b)^T (\mathbf{N}_{,y}^b)^T & (\mathbf{r}_0^b)^T (\mathbf{N}_{,x}^b)^T \end{bmatrix} \begin{Bmatrix} \mathbf{N}_{,x}^b \\ \mathbf{N}_{,y}^b \end{Bmatrix}, \quad (2.35)$$

Macierz \mathbf{B}_{NL}^b ma taką samą postać jak macierz \mathbf{B}_0^b . Przy małych ugięciach płyty wartości elementów macierzy \mathbf{B}_{NL}^b są pomijalnie małe w porównaniu z \mathbf{B}_L^b .

Pole przemieszczeń wewnątrz elementu powłokowego, który ma zastosowanie w analizie dużych ugięć płyty jest opisane przez zsumowanie pola przemieszczeń elementu tarczowego i płytowego

$$\begin{Bmatrix} u \\ v \\ w \end{Bmatrix} = \begin{bmatrix} \mathbf{N}^m & 0 & -z\mathbf{N}_{,y}^b \\ 0 & \mathbf{N}^m & -z\mathbf{N}_{,x}^b \\ 0 & 0 & \mathbf{N}^b \end{bmatrix} \begin{Bmatrix} \mathbf{r}_x^m \\ \mathbf{r}_y^m \\ \mathbf{r}^b \end{Bmatrix} = \mathbf{N}\mathbf{r}, \quad (2.36)$$

Macierz funkcji kształtu odkształceń dla elementu powłokowego jest sumą macierzy funkcji kształtu odkształceń tarczy i płyty

$$\mathbf{L} = \begin{Bmatrix} L_x \\ L_y \\ 2L_{xy} \end{Bmatrix} = \begin{Bmatrix} l_x^m \\ l_y^m \\ 2l_{xy}^m \end{Bmatrix} + \begin{Bmatrix} l_x^b \\ l_y^b \\ 2l_{xy}^b \end{Bmatrix} + \begin{Bmatrix} \eta_x^b \\ \eta_y^b \\ \eta_{xy}^b \end{Bmatrix}, \quad (2.37)$$

$$\mathbf{L} = \mathbf{B}^m \mathbf{r}^m + \mathbf{B}_L^b \mathbf{r}^b + \mathbf{B}_0^b \mathbf{r}^b + \frac{1}{2} \mathbf{B}_{NL}^b \mathbf{r}^b = \mathbf{B}\mathbf{r}, \quad (2.38)$$

gdzie

$$\mathbf{B} = \left[\mathbf{B}^m \left(\mathbf{B}_L^b + \mathbf{B}_0^b + \frac{1}{2} \mathbf{B}_{NL}^b \right) \right], \quad (2.39)$$

$$\mathbf{r} = \begin{Bmatrix} \mathbf{r}^m \\ \mathbf{r}^b \end{Bmatrix}, \quad (2.40)$$

$$\mathbf{B}^m = \begin{bmatrix} \mathbf{N}_{,x}^m & 0 \\ 0 & \mathbf{N}_{,y}^m \\ \mathbf{N}_{,y}^m & \mathbf{N}_{,x}^m \end{bmatrix}, \quad (2.41)$$

2.5 Sformułowanie wariacyjne przyrostowych równań równowagi w zakresie geometrycznie nieliniowym

Równanie pracy wirtualnej ma postać:

$$\int_V \delta \mathbf{L}^T \boldsymbol{\sigma} dV - \int_V \delta \mathbf{d}^T \mathbf{b} dV - \int_{A_i} \delta \mathbf{d}^T \mathbf{t} dA = 0, \quad (2.42)$$

gdzie $\mathbf{d} = \mathbf{N}\mathbf{r}$, $\mathbf{L} = \mathbf{B}(\mathbf{r})\mathbf{r} = \mathbf{L}(\mathbf{r})$, stąd $\delta \mathbf{d} = \mathbf{N} \delta \mathbf{r}$ oraz $\delta \mathbf{L} = \frac{\partial \mathbf{L}}{\partial \mathbf{r}} \delta \mathbf{r}$ wówczas równanie

(2.42) można zapisać w postaci

$$\int_V \left(\frac{\partial \mathbf{L}}{\partial \mathbf{r}} \right)^T \boldsymbol{\sigma} dV - \mathbf{p} = 0, \quad (2.43)$$

$$\mathbf{p} = \int_V \mathbf{N}^T \mathbf{b} dV + \int_{A_i} \mathbf{N}^T \mathbf{t} dA, \quad (2.44)$$

macierz \mathbf{p} jest wektorem sił węzłowych. W zakresie sprężystym przy założeniu, że istnieją naprężenia początkowe $\boldsymbol{\sigma}_0$ wartość wektora naprężenia wynosi

$$\boldsymbol{\sigma} = \mathbf{D}\mathbf{L} + \boldsymbol{\sigma}_0, \quad (2.45)$$

Jeśli zdefiniuje się przyrost liniowy $\Delta \mathbf{p}$

$$\Delta \mathbf{p} = \int_V \left[\left(\frac{\partial \mathbf{L}}{\partial \mathbf{r}} \right)^T \Delta \boldsymbol{\sigma} + \boldsymbol{\sigma}^T \Delta \left(\frac{\partial \mathbf{L}}{\partial \mathbf{r}} \right) \right] dV, \quad (2.46)$$

oraz $\Delta \boldsymbol{\sigma}$ taki, że

$$\Delta \boldsymbol{\sigma} = \frac{\partial \boldsymbol{\sigma}(\mathbf{L})}{\partial \mathbf{L}} \frac{\partial \mathbf{L}}{\partial \mathbf{r}} \Delta \mathbf{r} = \mathbf{D}^{e-p} \frac{\partial \mathbf{L}}{\partial \mathbf{r}} \Delta \mathbf{r}, \quad (2.47)$$

wówczas otrzymuje się

$$\Delta \mathbf{p} = \left\{ \int_V \left[\left(\frac{\partial \mathbf{L}}{\partial \mathbf{r}} \right)^T \mathbf{D}^{e-p} \frac{\partial \mathbf{L}}{\partial \mathbf{r}} + \boldsymbol{\sigma}^T \frac{\partial \mathbf{L}^2}{\partial \mathbf{r}^2} \right] dV \right\} \Delta \mathbf{r}, \quad (2.48)$$

Macierz \mathbf{D}^{e-p} jest macierzą styczna stałych sprężystości w zakresie sprężysto-plastycznym materiału. Dla materiału w zakresie liniowo sprężystym macierz \mathbf{D}^{e-p} przechodzi w macierz stałych sprężystości \mathbf{D} . Równanie (2.48) stanowi ogólna przyrostową postać stanu równowagi ciała przy założeniu fizycznej i geometrycznej nieliniowości. Łącząc element tarczowy i płytowy można zapisać

$$\frac{\partial \mathbf{L}}{\partial \mathbf{r}} = [\mathbf{B}^m \quad [\mathbf{B}_L^b + \mathbf{B}_0^b + \mathbf{B}_{NL}^b]], \quad (2.49)$$

$$\frac{\partial^2 \mathbf{L}}{\partial \mathbf{r}^2} = [0 \quad [(\mathbf{B}_{NL}^b)_{,r}]], \quad (2.50)$$

$$(\mathbf{B}_{NL}^b)_{,r} = \begin{bmatrix} (\mathbf{N}_{,x}^b)^T & 0 \\ 0 & (\mathbf{N}_{,y}^b)^T \\ (\mathbf{N}_{,y}^b)^T & (\mathbf{N}_{,x}^b)^T \end{bmatrix} \begin{Bmatrix} \mathbf{N}_{,x}^b \\ \mathbf{N}_{,y}^b \end{Bmatrix}, \quad (2.51)$$

Po podstawieniu (2.49), (2.50) i (2.51) do (2.48) otrzymuje się

$$\left(\int_V [\mathbf{B}^m \quad [\mathbf{B}_L^b + \mathbf{B}_0^b + \mathbf{B}_{NL}^b]]^T \mathbf{D} [\mathbf{B}^m \quad [\mathbf{B}_L^b + \mathbf{B}_0^b + \mathbf{B}_{NL}^b]] dV + \int_V \boldsymbol{\sigma}^T [0 \quad [(\mathbf{B}_{NL}^b)_{,r}]] dV \right) \Delta \mathbf{r} - \Delta \mathbf{p} = 0 \quad (2.52)$$

Inaczej zapisane równanie (2.52) ma postać

$$\mathbf{K}_T \Delta \mathbf{r} - \Delta \mathbf{p} = 0, \quad (2.53)$$

gdzie $\mathbf{K}_T = \mathbf{K}_1(\mathbf{r}) + \mathbf{K}_2(\boldsymbol{\sigma})$. Macierz \mathbf{K}_T nosi nazwę stycznej macierzy sztywności.

$$\mathbf{K}_1(\mathbf{r}) = \int_V [\mathbf{B}^m \quad [\mathbf{B}_L^b + \mathbf{B}_0^b + \mathbf{B}_{NL}^b]]^T \mathbf{D} [\mathbf{B}^m \quad [\mathbf{B}_L^b + \mathbf{B}_0^b + \mathbf{B}_{NL}^b]] dV, \quad (2.54)$$

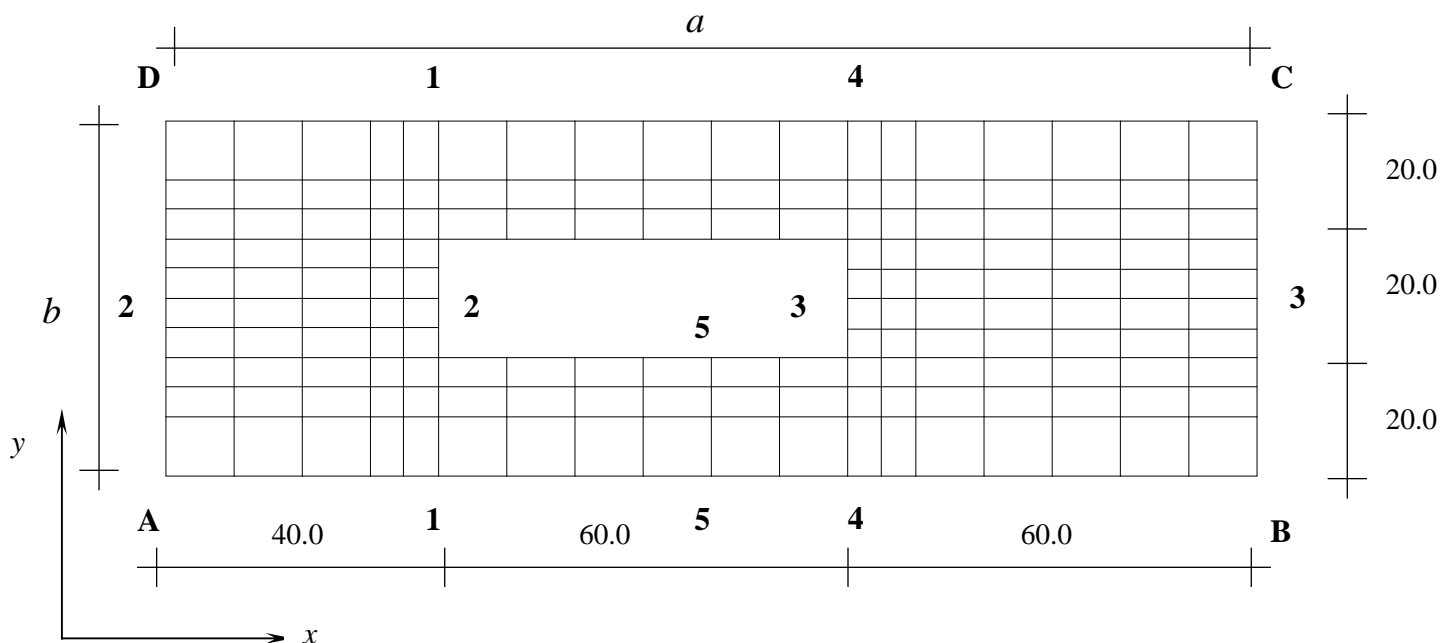
$$\mathbf{K}_2(\boldsymbol{\sigma}) = \int_V \boldsymbol{\sigma}^T [0 \quad [(\mathbf{B}_{NL}^b)_{,r}]] dV, \quad (2.55)$$

Przy założeniu małych ugięć i braku ugięć początkowych macierz styczna \mathbf{K}_T przechodzi w liniową macierz sztywności \mathbf{K} . Składnik $\mathbf{K}_2(\boldsymbol{\sigma})$ może być pominięty, gdy składowe membranowe wektora naprężenia są równe zero. Warunek ten zachodzi przy małych ugięciach i braku naprężeń tarczowych.

3 Przykłady obliczeń

Analizowanym przykładem jest płyta cienka, kwadratowa z otworem. Analizę nieliniową przeprowadzono przy użyciu programu metody elementów skończonych ABAQUS. Obszar płyty podzielono na elementy skończone powłokowe czterowęzłowe o pięciu stopniach

swobody i czterech punktach Gaussa. Element ten stanowi połączenie elementu tarczowego i płytowego opisanych w p. 2.2. Podział na elementy skończone oraz wymiary płyty pokazano na rys. 3.1. W pobliżu krawędzi otworu zagęszczono siatkę elementów skończonych. Przyjęto następujące własności materiałowe: moduł Younga $E = 205 \text{ GPa}$, współczynnik Poissona $\nu = 0.3$ oraz grubość płyty $h = 2.0$.

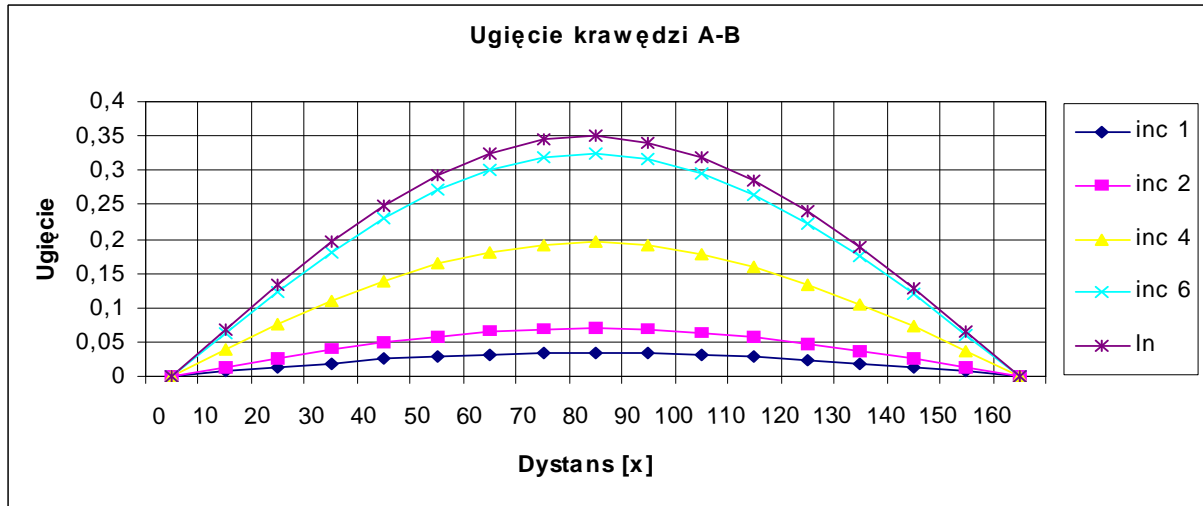


Rys. 3.1

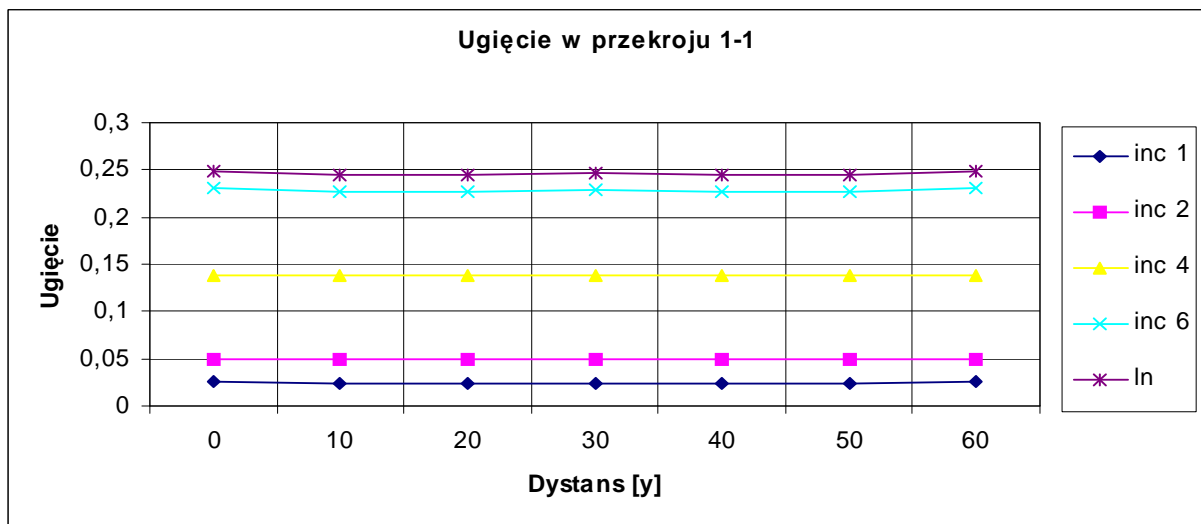
Warunki brzegowe: krawędzie **A-D** oraz **B-C** są podparte swobodnie z blokadą przemieszczeń na kierunkach x i y ($u = v = w = 0$). Krawędzie **A-B** i **C-D** oraz krawędzie otworu są swobodne.

3.1. Płyta z otworem poddana obciążeniu równomiernie rozłożonemu

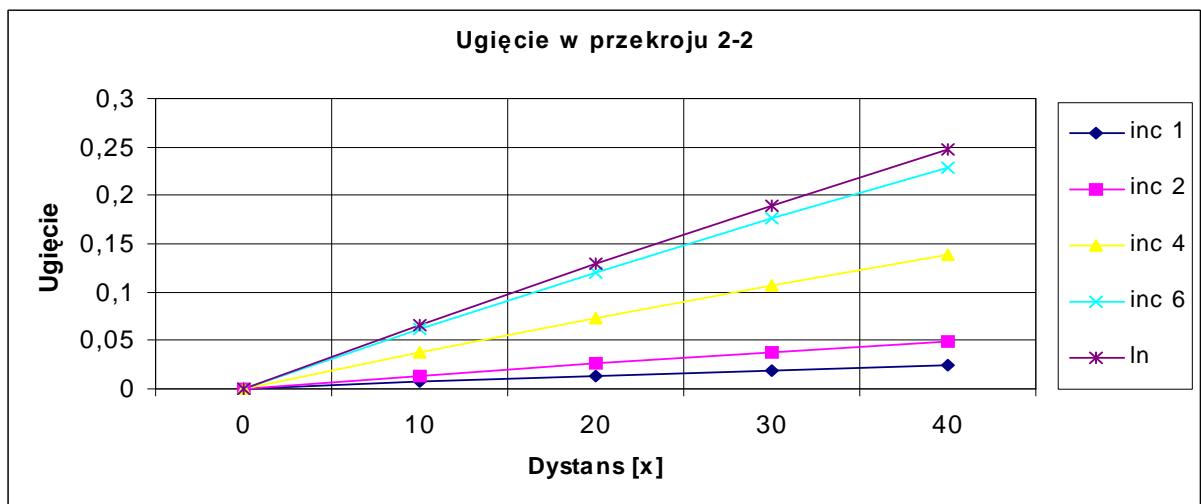
Płyta została poddana obciążeniu równomiernie rozłożonemu o intensywności $q = 5 \text{ kN/m}^2$. Na rys. 3.1.1-3.1.6 przedstawiono ugięcia płyty w przekrojach zaznaczonych na rys. 3.1 otrzymane na drodze analizy geometrycznie nieliniowej oraz odpowiadające im rozwiązanie liniowe klasycznej teorii płyt. Na rys. 3.1.7-3.1.10 podano przemieszczenia membranowe u i v a na rys. 3.2.11-3.2.20 wykresy momentów zginających i skręcających w postaci warstwic. Tabela 3.1 przedstawia maksymalne ugięcia oraz naprężenia σ_x i σ_y .



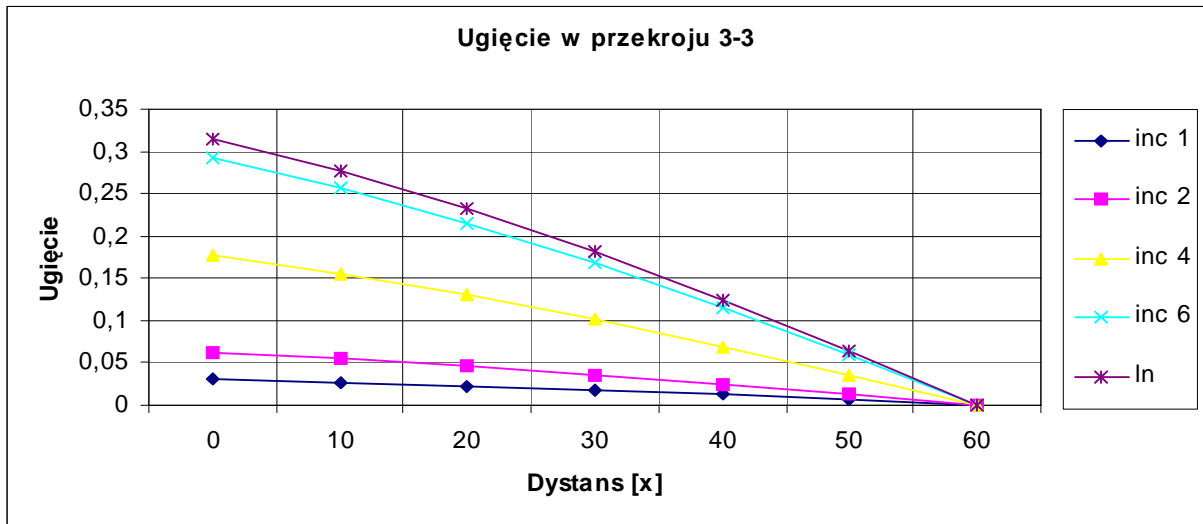
Rys. 3.1.1



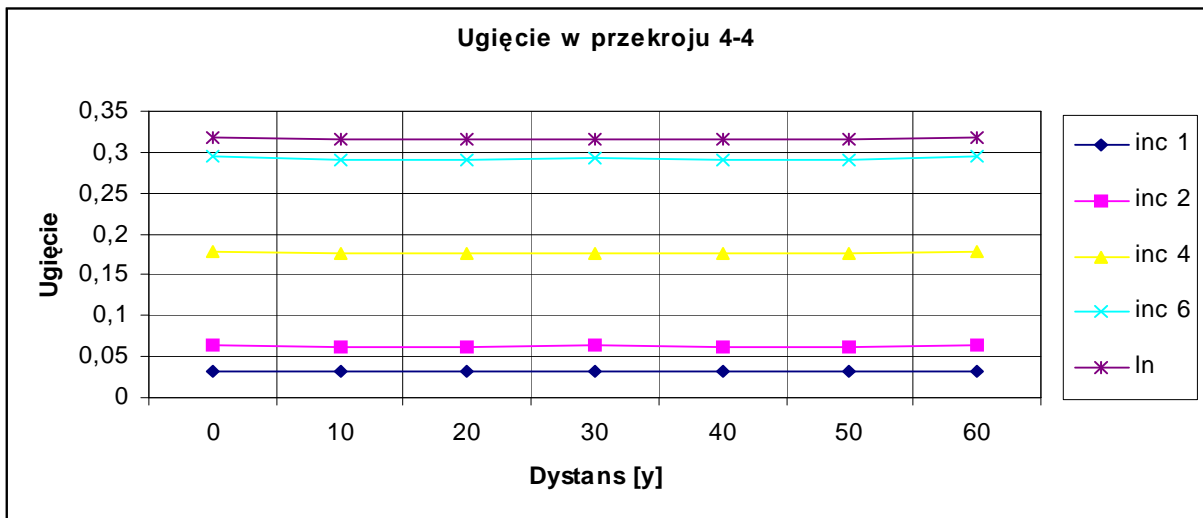
Rys. 3.1.2



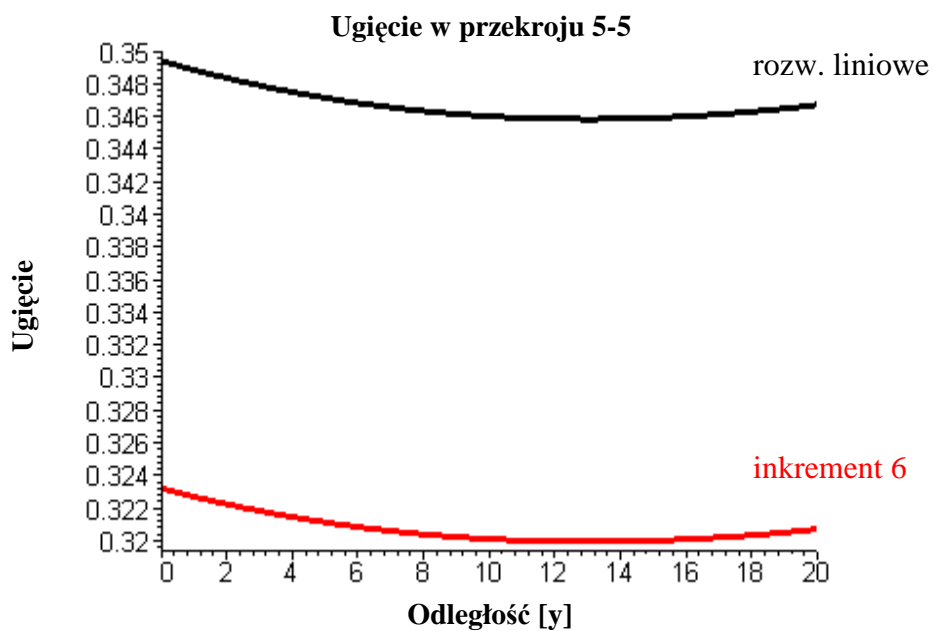
Rys. 3.1.3



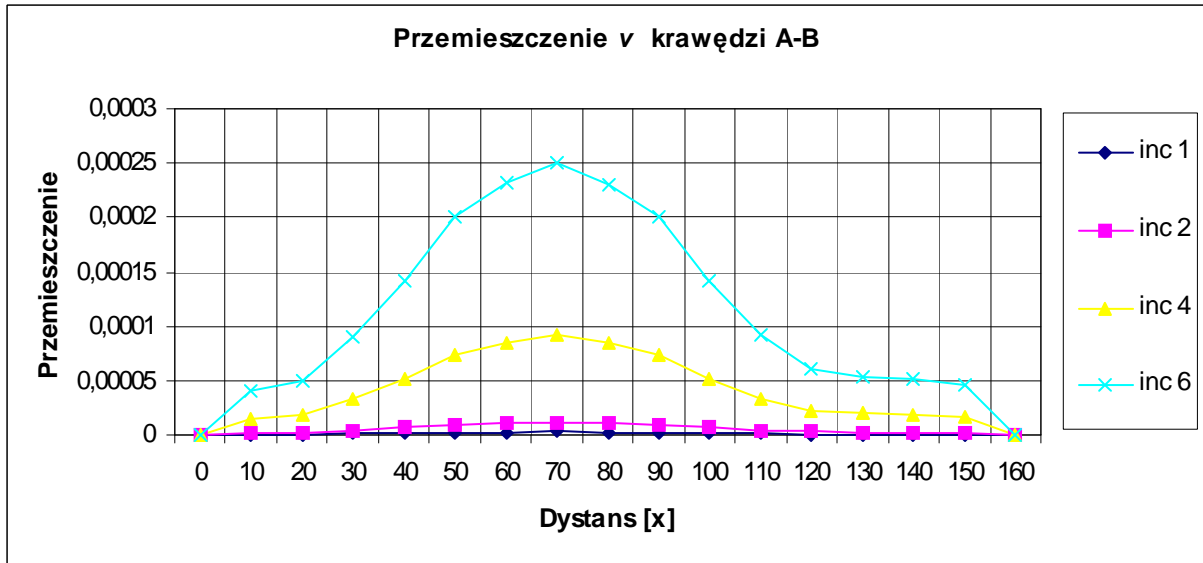
Rys. 3.1.4



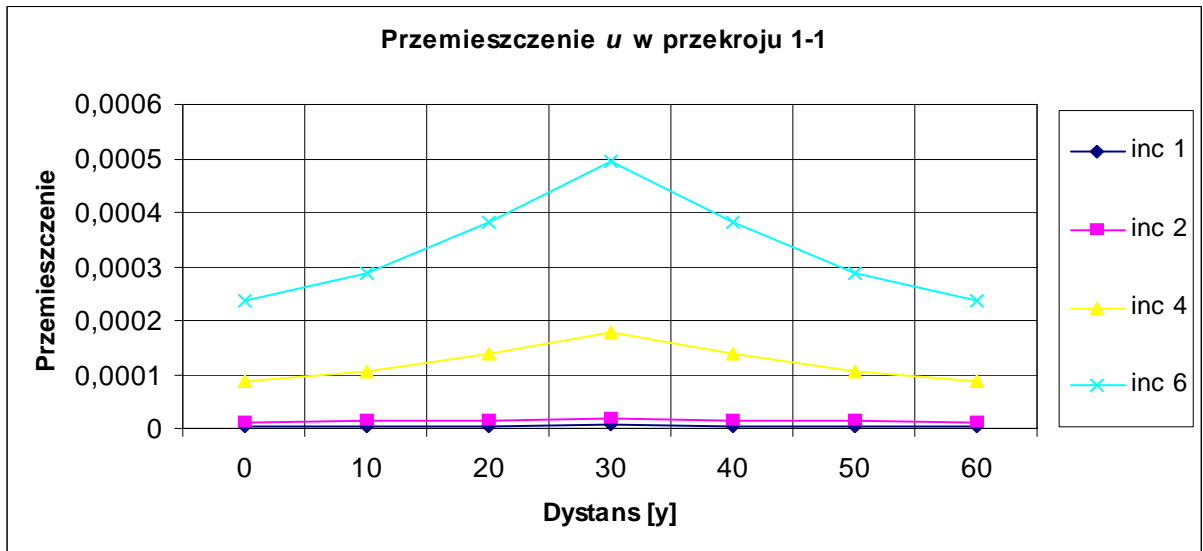
Rys. 3.1.5



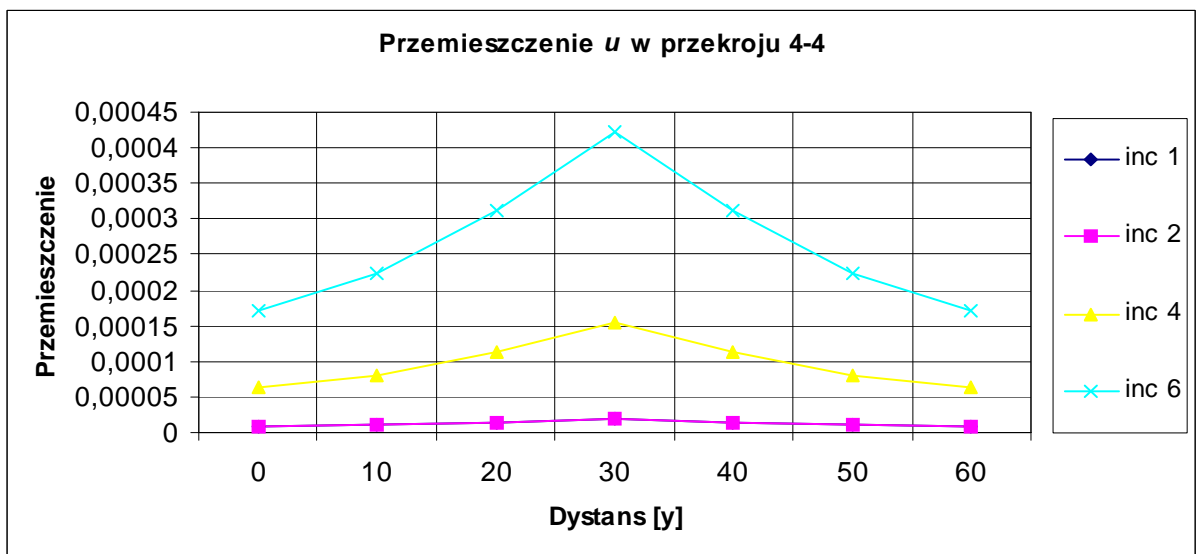
Rys. 3.1.6



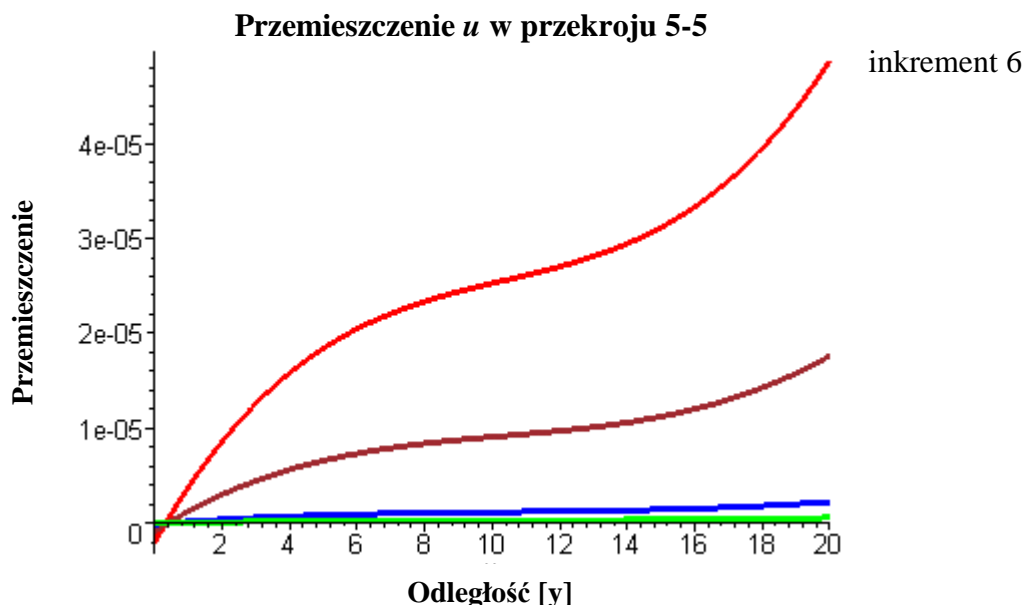
Rys. 3.1.7



Rys. 3.1.8



Rys. 3.1.9



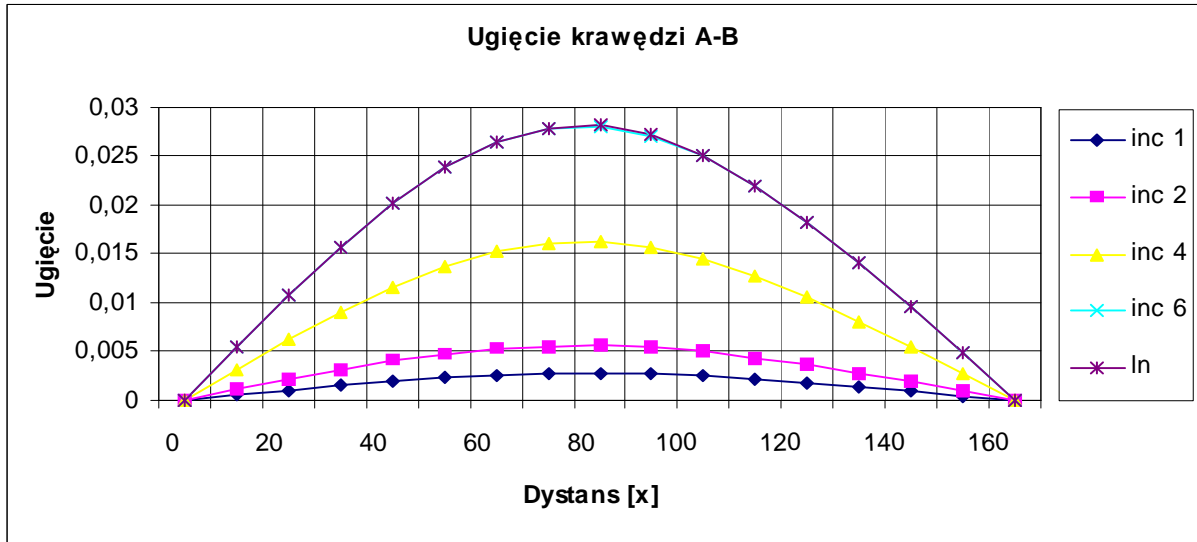
Rys. 3.1.10

Tabela 3.1

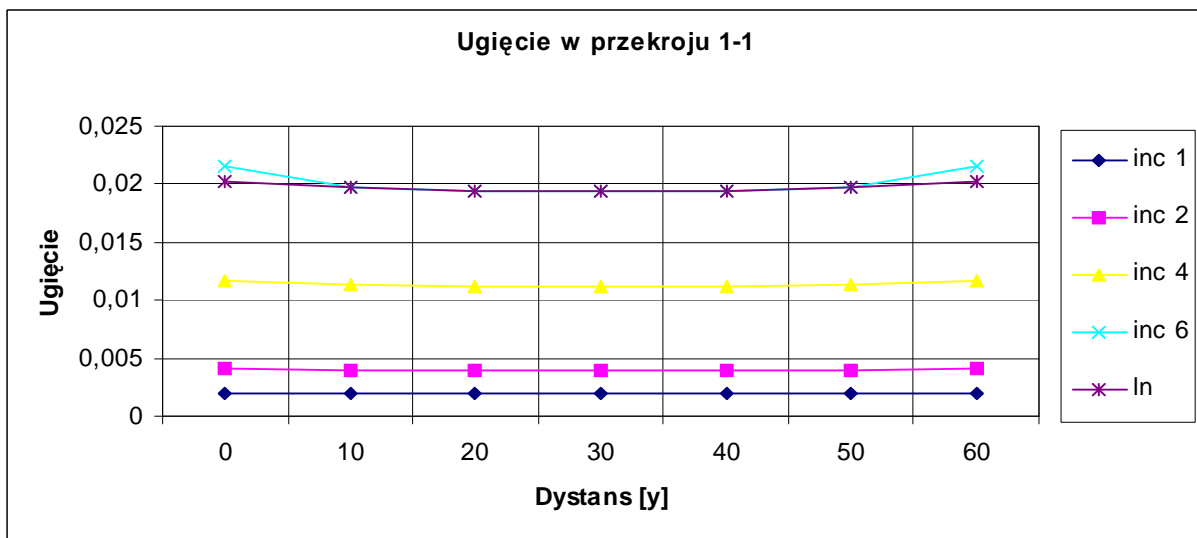
	Rozwiązanie liniowe	Rozwiązanie nieliniowe war. brzeg. wg. rys. 3.1	Rozwiązanie nieliniowe $u_{B,C} \neq 0$ i $v_{B,C} \neq 0$
wD/pa^2b^2 [-]	0,113876	0,105337	0,113876
σ_x [N/m ²]	$3,1405 \cdot 10^7$ $-3,1405 \cdot 10^7$	$3,1803 \cdot 10^7$ $-2,6233 \cdot 10^7$	$3,1341 \cdot 10^7$ $-3,1404 \cdot 10^7$
σ_y [N/m ²]	$3,8098 \cdot 10^6$ $-3,8098 \cdot 10^6$	$2,3886 \cdot 10^6$ $-4,7754 \cdot 10^6$	$3,8252 \cdot 10^6$ $-3,7992 \cdot 10^6$

3.2. Płyta z otworem poddana obciążeniu rozłożonemu liniowo wzdłuż krawędzi swobodnych

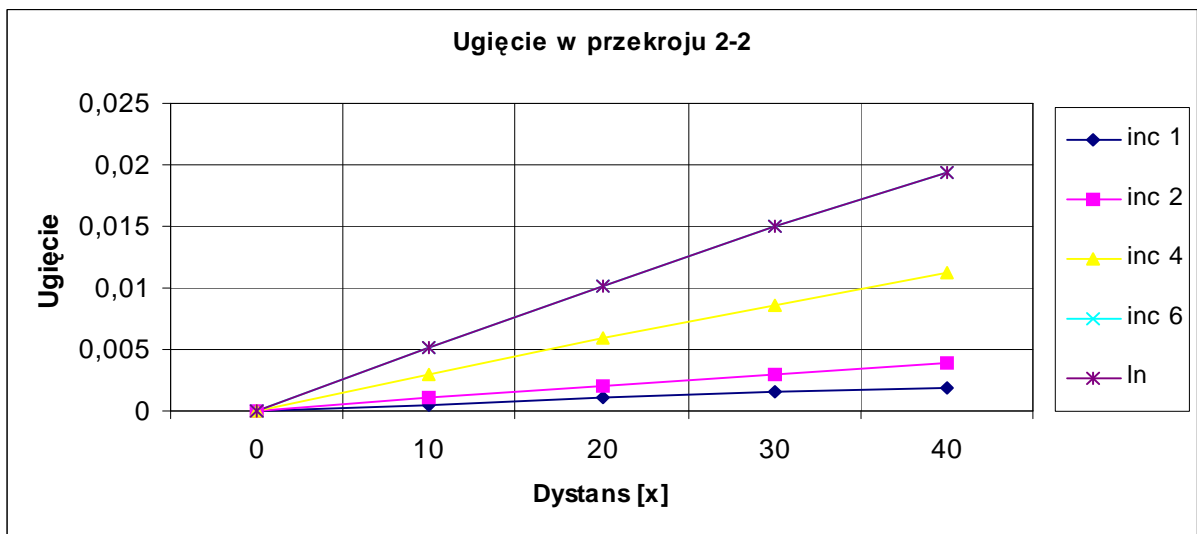
Na płytę przyłożono obciążenie rozłożone równomiernie liniowo wzdłuż zewnętrznych krawędzi o intensywności $q = 15$ kN/m. Na rys. 3.2.1-3.2.6 przedstawiono ugięcia płyty w przekrojach zaznaczonych na rys. 3.1 otrzymane na drodze analizy geometrycznie nieliniowej oraz odpowiadające im rozwiązanie liniowe klasycznej teorii płyt. Na rys.3.2.7-3.2.10 podano przemieszczenia membranowe u i v a na rys. 3.2.11-3.2.20 wykresy momentów zginających i skręcających w postaci warstwic. Tabela 3.2 przedstawia maksymalne ugięcia oraz naprężenia σ_x i σ_y .



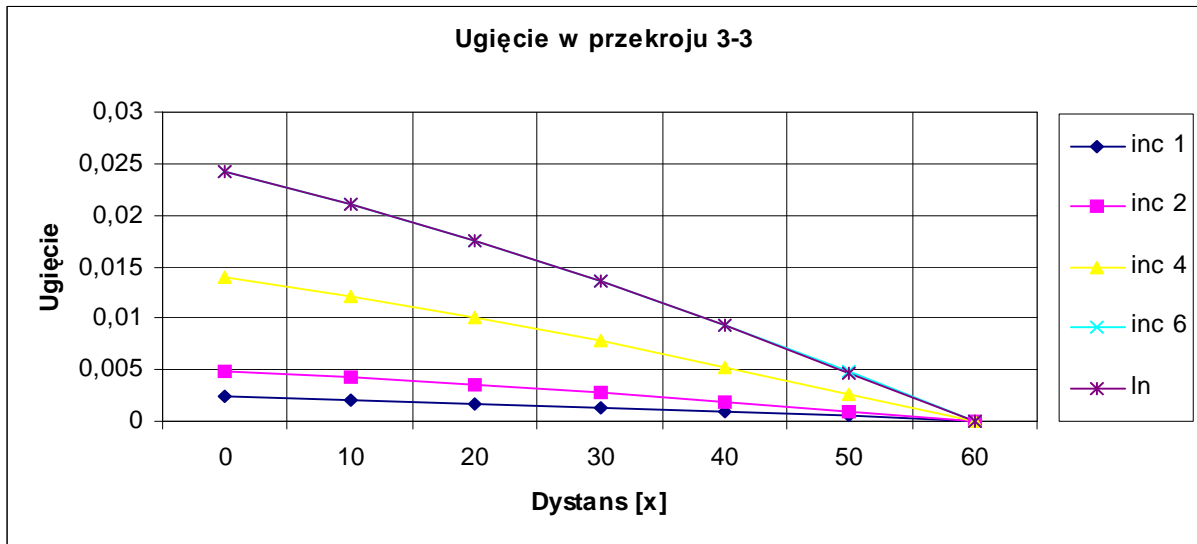
Rys. 3.2.1



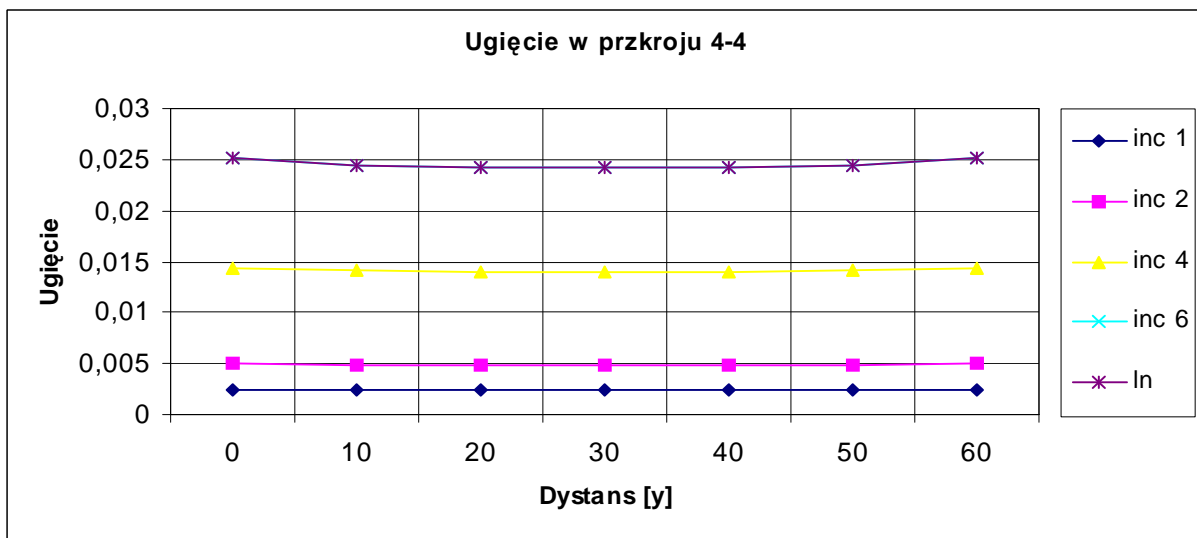
Rys. 3.2.2



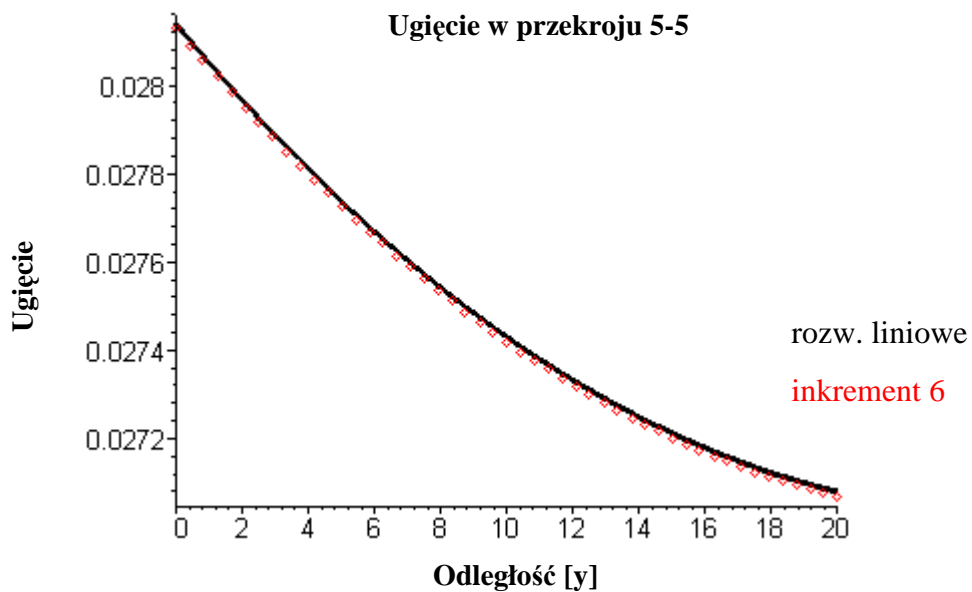
Rys. 3.2.3



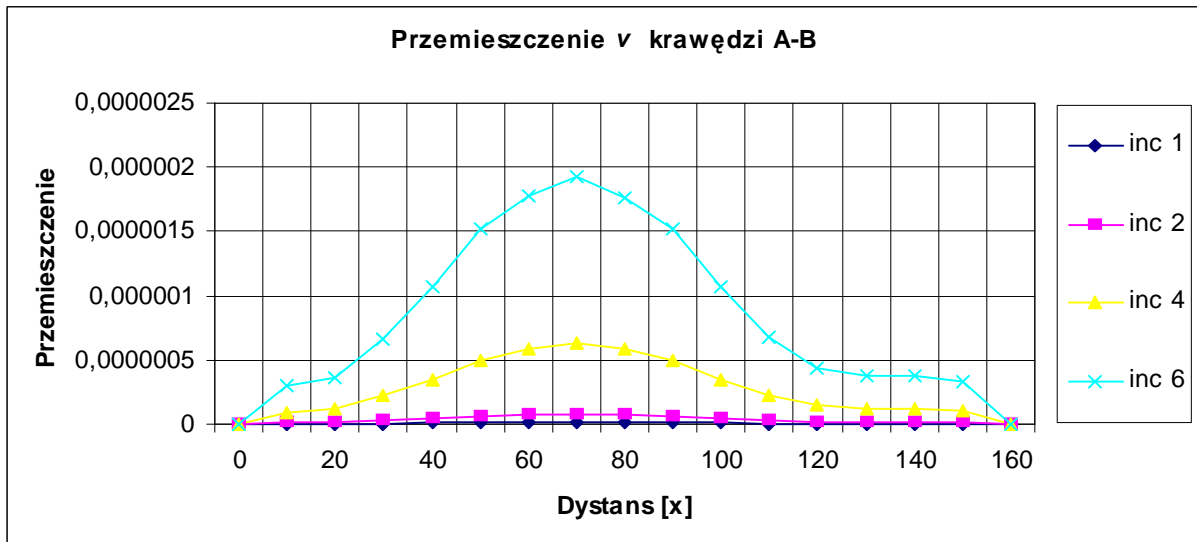
Rys. 3.2.4



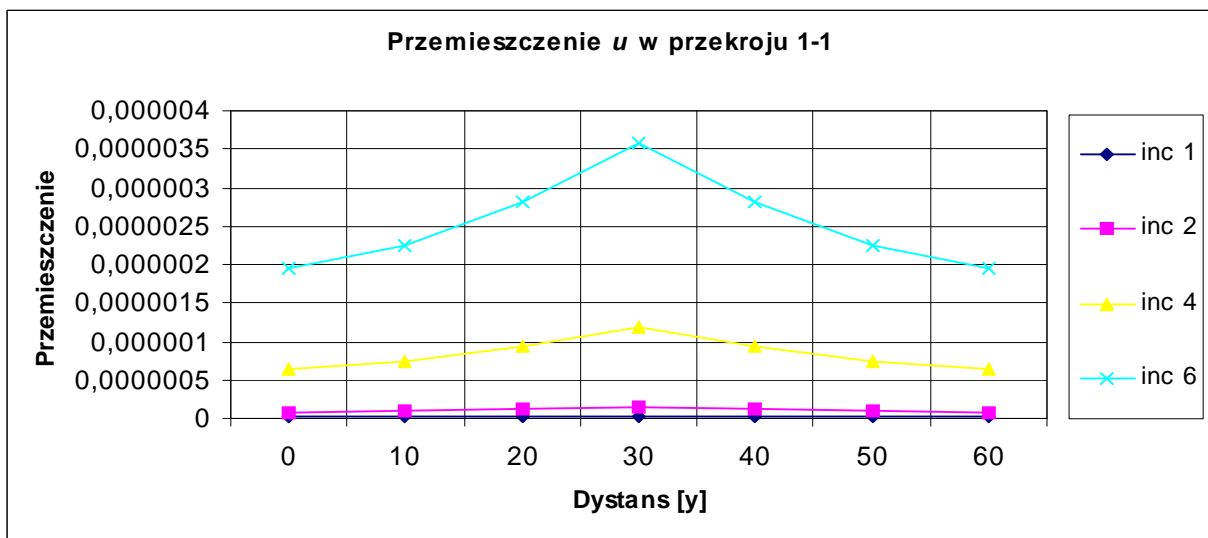
Rys. 3.2.5



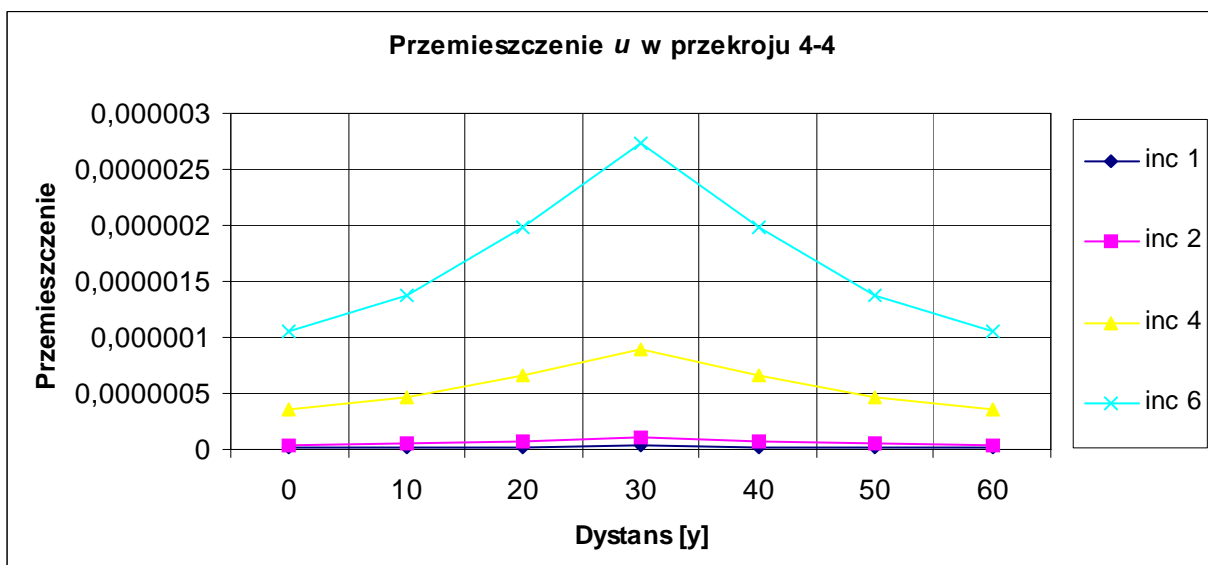
Rys. 3.2.6



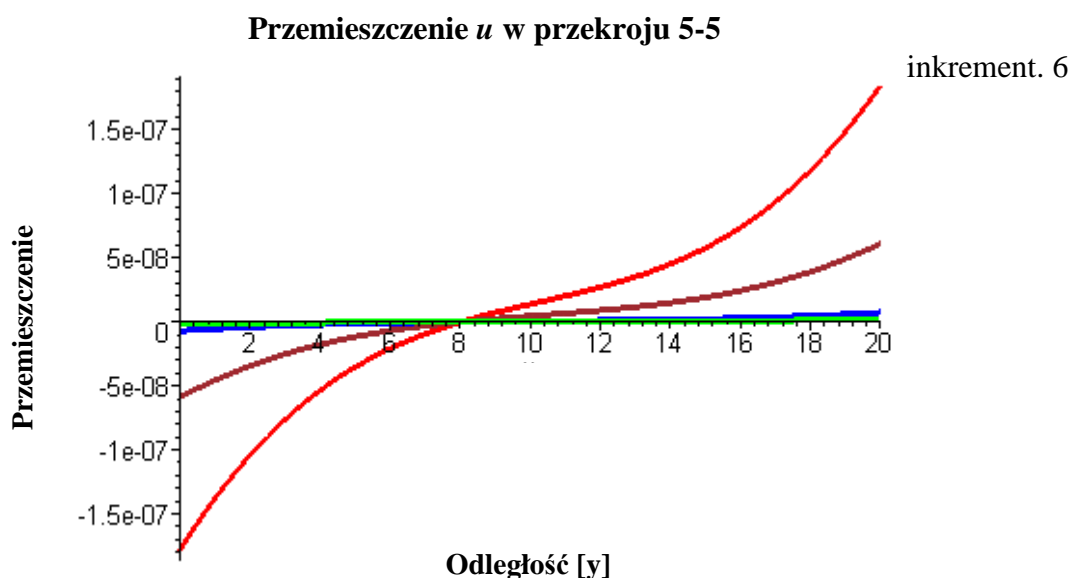
Rys. 3.2.7



Rys. 3.2.8



Rys. 3.2.9



Rys. 3.2.10

Tabela 3.2

	Rozwiązanie liniowe	Rozwiązanie nieliniowe war. brzeg. wg. rys. 3.1	Rozwiązanie nieliniowe $u_{B-C} \neq 0$ i $v_{B-C} \neq 0$
$wD/(\rho a^2 b^2)$ [-]	0,009171	0,009167	0,009173
σ_x [N/m ²]	$2,4643 \cdot 10^6$ $-2,4643 \cdot 10^6$	$2,7472 \cdot 10^6$ $-3,5914 \cdot 10^6$	$2,464 \cdot 10^6$ $-2,462 \cdot 10^6$
σ_y [N/m ²]	$1,9175 \cdot 10^5$ $-1,9175 \cdot 10^5$	$1,9213 \cdot 10^5$ $-1,9213 \cdot 10^5$	$1,9175 \cdot 10^5$ $-1,9211 \cdot 10^5$

Dla przyjętego warunku brzegowego w postaci blokady przemieszczeń u , v i w na obu przeciwległych krawędziach rozwiązanie geometrycznie nieliniowe daje mniejsze wartości ugięć niż rozwiązanie liniowe. Przyczyną tego są naprężenia membranowe widoczne przy ugięciach płyty bliskich wartości 20 % jej grubości. Schodzące się krawędzie płyty przy otworze są miejscem koncentracji naprężeń. Maksymalne ugięcia otrzymano w przekroju 5-5. Wartości podano w tabelach 3.1 i 3.2.

Literatura i materiały źródłowe

- [1] **Roz. 1 i 2** M. Kmieciak, M. Wizmur, E. Bielewicz : *Analiza nieliniowa tarcz i płyt* Politechnika Gdańska 1995
- [2] **Roz. 1** W. Barański, Z. Więckowski: *Metody obliczeniowe mechaniki nieliniowej-wykłady dla studium doktoranckiego*
- [3] **Roz. 1** J. Rakowski: *Teoria sprężystości i plastyczności-materiały dydaktyczne Politechniki Poznańskiej*